

Институт общей физики АН СССР,
Москва

Поступило в Редакцию
30 октября 1990 г.

Письма в ЖТФ, том 17, вып. 2

26 января 1991 г.

05.3

© 1991

ОБРАЗОВАНИЕ НОВЫХ КРИСТАЛЛИЧЕСКИХ ФАЗ
В АМОРФНЫХ СПЛАВАХ НА ОСНОВЕ ЖЕЛЕЗА
ПРИ ИОННОЙ БОМБАРДИРОВКЕ

С.П. Ченакин, А.Л. Пивоваров,
В.Т. Черепин, И.Е. Котенко

Известно [1], что аморфные металлические сплавы (АМС) довольно устойчивы по отношению к кристаллизации при их облучении газовыми ионами в широком диапазоне энергий и доз. Частичная кристаллизация АМС $Fe_{80}B_{20}$ и $Fe_{85}B_{15}$ с выделением α -Fe наблюдалась в работе [2] после бомбардировки ионами He^+ , 40 кэВ с дозами $5 \cdot 10^{17} - 3 \cdot 10^{18} \text{ см}^{-2}$.

В данной работе обнаружены новые кристаллические метастабильные фазы, образующиеся в АМС на основе железа в результате ионной бомбардировки.

Образцами служили фольги аморфных сплавов $Fe_{85}B_{15}$, $Fe_{80}B_{20}$, $Fe_{40}Ni_{40}B_{20}$, $Fe_{40}Ni_{40}Si_4B_{16}$ толщиной 20–25 мкм, полученные закалкой расплава на вращающемся колесе. Образцы, находящиеся при комнатной температуре, бомбардировали пучком ионов с энергией 5 кэВ и плотностью тока $0.3 \text{ mA} \cdot \text{см}^{-2}$ в безмасляном вакууме $1 \cdot 10^{-5} \text{ Па}$ под углами 60° или 45° к нормали к поверхности. Для обеспечения теплоотвода фольги крепились на медной подложке. Бомбардировка образцов производилась до практического полного их распыления ионным пучком насеквоздь. Структуру утоненных таким образом фольг изучали на просвет в электронографе ЭМР-100 и в электронном микроскопе JEM-100CX-П.

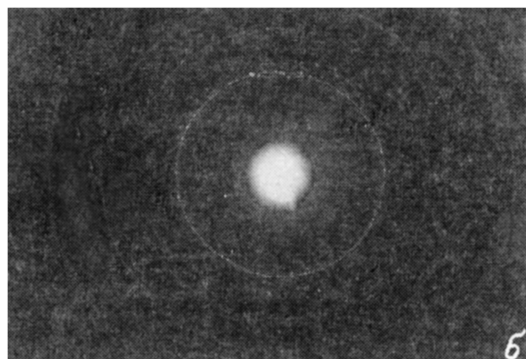
Недавно нами было установлено [3], что при облучении АМС $Fe_{85}B_{15}$ ионами Ar^+ 5 кэВ с дозами $\sim 10^{19} \text{ см}^{-2}$ возникает новая аморфная структура, характеризующаяся большими по сравнению с необлученным сплавом межатомными расстояниями. Аналогичная аморфная структура была обнаружена после ионной бомбардировки и в других изучаемых в настоящей работе АМС. На электронограмме АМС, облученных с дозой $\sim 10^{19} \text{ см}^{-2}$, в дополнение к системе из двух диффузных копец, характерных для аморфного состояния и соответствующих структуре исходного необлученно-



a



b



c

Рис. 1. Электронограмма аморфного сплава $Fe_{85}B_{15}$, распыленного насеквоздь ионами Ar^+ 5 кэВ: а - частичная кристаллизация γ' -фазы, б - кристаллический участок с частичным распадом метастабильных фаз γ' и δ за счет нагрева электронным пучком, в - кристаллический участок δ -фазы в сплаве $Fe_{80}B_{20}$.

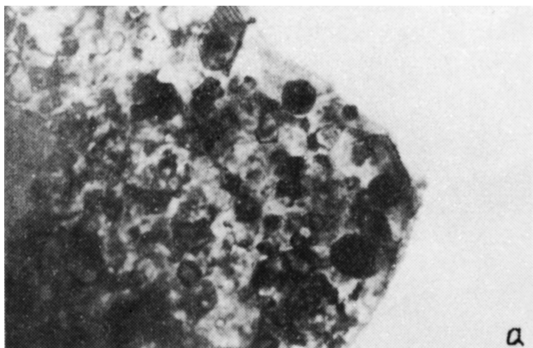
го сплава, появлялись два дополнительных, сильно размытых кольца меньшего диаметра. Векторы рассеяния $S = 4\pi \sin \theta / \lambda$, измеренные для исходной и новой системы дифракционных колец, составляли, соответственно, $S_1 = 3.09 \text{ \AA}^{-1}$, $S_2 = 5.22 \text{ \AA}^{-1}$ и $S'_1 = 2.47 \text{ \AA}^{-1}$, $S'_2 = 4.13 \text{ \AA}^{-1}$ (AMC $\text{Fe}_{40}\text{Ni}_{40}\text{B}_{20}$) и несколько различались для разных сплавов. Из этих значений S можно получить среднее межатомное расстояние, которое для исходной аморфной структуры составляет 2.5 \AA , а для новой аморфной структуры, возникшей в результате бомбардировки, $- 3.11 \text{ \AA}$.

Теория строения AMC, основанная на модели случайной плотной упаковки твердых сфер [4], предсказывает величину $S_2/S_1 = 1.68$. Экспериментальные результаты дают значения $S_2/S_1 = 1.69$ и $S'_2/S'_1 = 1.67$. Следовательно, новая аморфная фаза формируется также в соответствии с моделью случайной плотной упаковки атомов. Увеличение межатомного расстояния в новой аморфной фазе обусловлено скорее всего наличием в матрице внедренных атомов аргона, которые имеют большие размеры. Оценки, сделанные исходя из коэффициента распыления AMC, показывают, что концентрация имплантированного аргона может достигать 18–22 ат.%, которая позволяет получить при случайной плотной упаковке разнородных атомов Fe и Ar наблюдаемые межатомные расстояния.

В образцах, распыленных ионным пучком насеквозд (доза $\gg 10^{19} \text{ см}^{-2}$) и имевших двухфазную аморфную структуру, наблюдалась частичная кристаллизация сплава, при этом кристаллическая фаза образовывалась при распаде новой аморфной фазы, а исходная аморфная матрица сохранялась (рис. 1, а). Выделяющиеся кристаллы можно идентифицировать как γ' -фазу с кубической структурой, параметр решетки которой зависел от состава сплава и составлял $0.428 \pm 0.003 \text{ нм}$ для AMC $\text{Fe}_{85}\text{B}_{15}$, 0.430 нм для $\text{Fe}_{40}\text{Ni}_{40}\text{B}_{20}$ и 0.432 нм для $\text{Fe}_{40}\text{Ni}_{40}\text{Si}_{4}\text{B}_{16}$.

В некоторых облученных образцах $\text{Fe}_{85}\text{B}_{15}$ наблюдались полностью кристаллизованные участки, которые содержали помимо γ' -фазы кристаллы другой γ -фазы с ГЦК структурой и большим, чем у γ' , параметром решетки (рис. 1, б). На рис. 2 представлено электронно-микроскопическое изображение этого участка в светлом поле (а) и в темном поле (б) рефлекса (111) γ -фазы. Наблюдались также кристаллизованные участки, состоящие из одной лишь γ -фазы (рис. 1, в), причем такие участки образовывались только при облучении AMC $\text{Fe}_{80}\text{B}_{20}$ и $\text{Fe}_{40}\text{Ni}_{40}\text{B}_{20}$. В некоторых случаях в $\text{Fe}_{40}\text{Ni}_{40}\text{B}_{20}$ возникали монокристаллы γ -фазы размером до 0.4 мм . Индицирование рефлексов γ -фазы показало, что они соответствуют ГЦК структуре с параметром $a = 0.548 \pm 0.003 \text{ нм}$.

Обнаруженные фазы γ' и γ нельзя отнести ни к одной из известных стабильных и метастабильных структур, образующихся при термической кристаллизации данных AMC [5], хотя их формирование, возможно, обусловлено совместным действием ионной бомбардировки и температуры, которая может повышаться в остающемся тонком слое по мере распыления AMC. γ' -фаза кристалли-



а

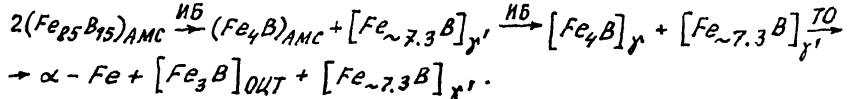


б

Рис. 2. Электронно-микроскопическое изображение кристаллического участка в облученном ионами Ar^+ аморфном сплаве $Fe_{85}B_{15}$: а - светлое поле, б - темное поле в рефлексе (111) γ' -фазы. Увеличение $\times 58000$.

зуется из рыхлой разупорядоченной новой аморфной фазы, которая, скорее всего, обеднена бором [2] и может быть интерпретирована как $Fe_{7-8}B$. Большая величина параметра решетки γ' -фазы по сравнению с γ - Fe может быть связана не только с наличием атомов бора, но и внедренных атомов аргона. γ' -Фаза образуется, видимо, при совместной кристаллизации двух аморфных фаз и, вероятно, соответствует среднему составу АМС типа $Fe_{80}B_{20}$, т.е. представляет собой Fe_4B или $(FeNi)_4B$.

γ' и γ -фаза являются метастабильными. Мы наблюдали частичный распад этих фаз (причем в первую очередь распадается, очевидно, γ -фаза с большим содержанием бора) с образованием известных структур α - Fe и тетрагонального борида Fe_3B в процессе нагрева облученного АМС $Fe_{85}B_{15}$ электронным пучком в колонне электронографа и микроскопа (рис. 1, б). Наблюдаемые при ионной бомбардировке и последующей термообработке превращения можно представить следующим образом:



При термообработке необлученного АМС образуются только α -Fe и ОЦТ или орторомбический борид Fe_3B [5].

Таким образом, процессы кристаллизации, протекающие при ионной бомбардировке аморфных сплавов, существенно отличаются от процессов кристаллизации при термическом отжиге, в результате чего в облученных сплавах могут формироваться новые метастабильные структуры.

Список литературы

- [1] T u a g i A.K., N a n d e d k a r R., K r i-s h a n K. // J. Nucl. Mater. 1984. V. 122/123. P. 732-736.
- [2] H a y a s h i N., T o r i y a m a T., S a-k a m o t o I., H i s a t a k e K. // J. Phys. Condens. Mater. 1989. V. 1. N 24. P. 3849-3858.
- [3] Пивоваров А.Л., Чекакин С.П., Чере-пин В.Т. // Письма в ЖЭТФ. 1989. Т. 50. № 10. С. 420-421.
- [4] Y a m a m o t o R., M a t s u o k a H., D o-u a m a M. // Phys. Lett. 1978. V. 64A. N 5. P. 457-459.
- [5] H e r o l d U., K ö s t e r U. // Z. Für Metallkde. 1978. B. 69. N 5. S. 326-332.

Институт металлофизики АН УССР,
Киев

Поступило в Редакцию
12 июля 1990 г.

Письма в ЖТФ, том 17, вып. 2

26 января 1991 г.

01; 05.3

© 1991

МОЛЕКУЛЯРНАЯ ГИБКОСТЬ И ЭФФЕКТЫ МАГНИТНОГО ПОЛЯ В МЕЗОФАЗЕ

Вл.К. Першин, В.А. Коноплев

Жидкие кристаллы чрезвычайно чувствительны к действию магнитного поля (H) вследствие анизотропии диамагнитной восприимчивости ($\Delta\chi$) молекул. Еще в самых ранних работах [1, 2] при теоретическом изучении влияния внешних ориентирующих полей на одноосную нематическую мезофазу с $\Delta\chi > 0$ в приближении жестких частиц предсказан ряд фундаментальных результатов: 1) ориентационный переход в. поле происходит без нарушения симметрии молекулярной системы, 2) зависимость температуры фазового превра-